

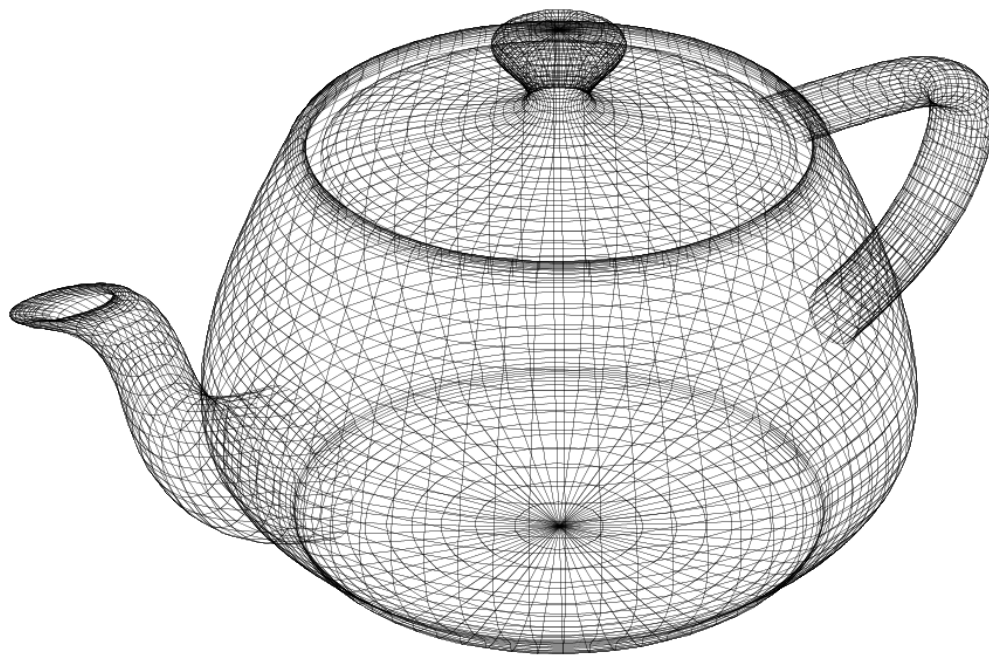


Universidade do Minho
Escola de Engenharia

Computação Gráfica 2024/25: Fase III

CURVAS, SUPERFÍCIES CÚBICAS & VBO'S

Abril 2025



Gustavo Barros
A100656

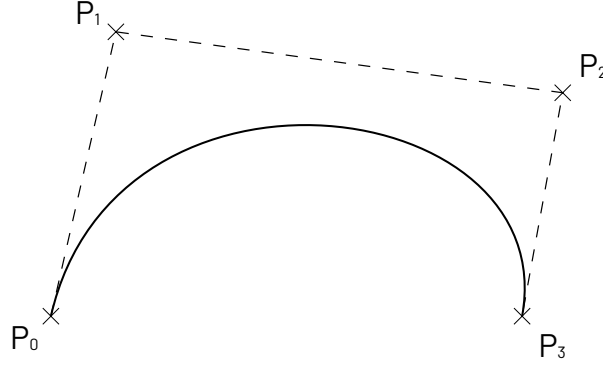
Pedro Ferreira
A97646

Enzo Vieira
A98352

Luís Figueiredo
A100549

1. Curvas Cúbicas de Bézier

Considere-se quatro pontos de controlo $P_{0..3}(x, y, z)$ e que se pretende traçar uma curva entre P_0 e P_3 (designados os “nós” da curva) sob a influência de P_1 e P_2 . Adicionalmente, defina-se o progresso na travessia da curva com a variável $t \in [0, 1]$.



A posição na curva para um valor t arbitrário dá-se pela expressão abaixo. Note-se que deve ser calculada para as três componentes do ponto.

$$P(t) = [x(t) \ y(t) \ z(t)] \quad (1)$$

$$\begin{aligned} P(t) &= (1-t)^3 \cdot P_0 + 3t(1-t) \cdot P_1 + 3t^2(1-t) \cdot P_2 + t^3 \cdot P_3 \\ &= \sum_{i=0}^3 B_i^3(t) P_i = \sum_{i=0}^3 \binom{3}{i} \cdot t^i (1-t)^{3-i} \cdot P_i \end{aligned} \quad (2)$$

A reformulação desta expressão em forma matricial resulta numa matriz MP de coeficientes constantes para toda a curva. Portanto, a fim de tornar a avaliação para t mais eficiente, recomenda-se que essa matriz seja calculada *a priori* ao invés de calcular os polinómios de Bernstein diretamente para tantos pontos quanto o nível de tesselação obrigar.

$$\begin{aligned} (1-t)^3 &= A(t) = -t^3 + 3t^2 - 3t + 1 \\ 3t(1-t)^2 &= B(t) = 3t^3 - 6t^2 + 3t \\ 3t^2(1-t) &= C(t) = -3t^3 + 3t^2 \\ t^3 &= D(t) = t^3 \end{aligned} \quad (3)$$

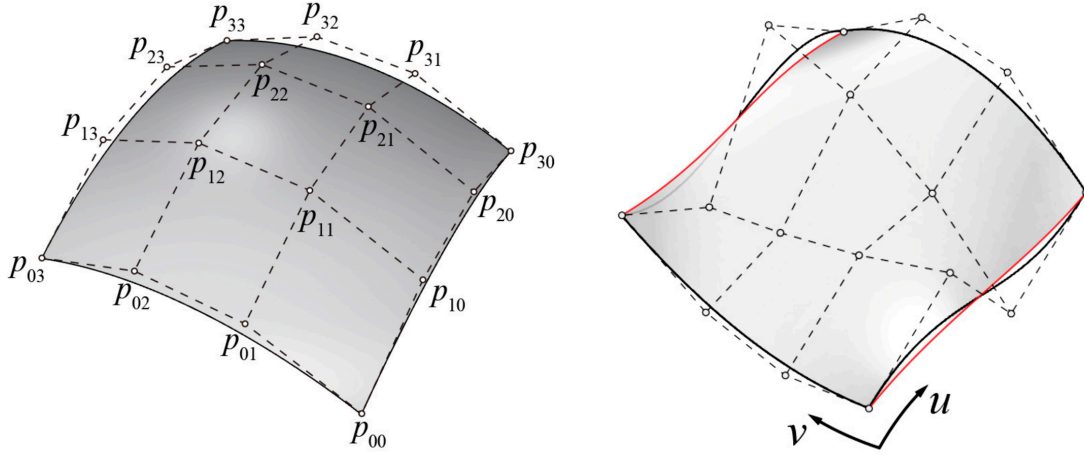
$$P(t) = [A(t) \ B(t) \ C(t) \ D(t)] \begin{bmatrix} P_0 \\ P_1 \\ P_2 \\ P_3 \end{bmatrix} = [t^3 \ t^2 \ t \ 1] \begin{bmatrix} -1 & 3 & -3 & 1 \\ 3 & -6 & 3 & 0 \\ -3 & 3 & 0 & 0 \\ 1 & 0 & 0 & 0 \end{bmatrix} \begin{bmatrix} P_0 \\ P_1 \\ P_2 \\ P_3 \end{bmatrix} = [t^3 \ t^2 \ t \ 1] M_{\text{Bézier}} \begin{bmatrix} P_0 \\ P_1 \\ P_2 \\ P_3 \end{bmatrix} \quad (4)$$

Para um ponto na curva, a sua derivada pode ser interpretada cineticamente como a sua “direção” atual. Isto é uma noção útil no encadeamento de curvas, pois garante continuidade de 1º grau.

$$P'(t) = [3t^2 \ 2t \ 1 \ 0] M_{\text{Bézier}} \begin{bmatrix} P_0 \\ P_1 \\ P_2 \\ P_3 \end{bmatrix} \quad (5)$$

2. Superfícies Bicúbicas de Bézier

O raciocínio das curvas pode ser estendido para uma segunda dimensão - em vez de avaliar a posição num segmento, avalia-se a posição numa superfície. Verifique-se que, se uma curva cúbica possui 4 pontos de controlo, então uma superfície quadrangular com arestas definidas por curvas cúbicas (um *patch* de Bézier) terá $4^2 = 16$ pontos de controlo.



Com duas dimensões é implícita a existência de duas coordenadas: $u, v \in [0, 1]$ (horizontal e vertical).

$$P(u, v) = [x(u, v) \ y(u, v) \ z(u, v)] \quad (6)$$

$$P(u, v) = \sum_{i=0}^3 \sum_{j=0}^3 B_i^3(u) B_j^3(v) P_{ij} \quad (7)$$

Para duas dimensões mantém-se também a lógica de haver uma matriz de coeficientes constantes para toda a superfície, neste caso MPM^T :

$$P(u, v) = [u^3 \ u^2 \ u \ 1] M_{\text{Bézier}} \begin{bmatrix} P_{00} & \dots & P_{30} \\ \vdots & \ddots & \vdots \\ P_{03} & \dots & P_{33} \end{bmatrix} M_{\text{Bézier}}^T \begin{bmatrix} v^3 \\ v^2 \\ v \\ 1 \end{bmatrix} \quad (8)$$

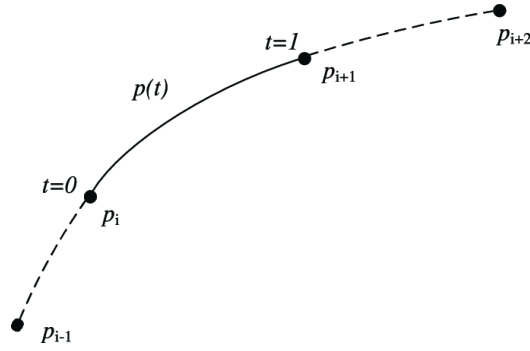
Para um ponto na superfície, as suas derivadas parciais são especialmente úteis para determinar (por produto vetorial normalizado) o seu vetor normal, indispensável à iluminação do modelo.

$$\frac{\delta}{\delta u} P(u, v) = [3u^2 \ 2u \ 1 \ 0] M_{\text{Bézier}} \begin{bmatrix} P_{00} & \dots & P_{30} \\ \vdots & \ddots & \vdots \\ P_{03} & \dots & P_{33} \end{bmatrix} M_{\text{Bézier}}^T \begin{bmatrix} v^3 \\ v^2 \\ v \\ 1 \end{bmatrix} \quad (9)$$

$$\frac{\delta}{\delta v} P(u, v) = [u^3 \ u^2 \ u \ 1] M_{\text{Bézier}} \begin{bmatrix} P_{00} & \dots & P_{30} \\ \vdots & \ddots & \vdots \\ P_{03} & \dots & P_{33} \end{bmatrix} M_{\text{Bézier}}^T \begin{bmatrix} 3v^2 \\ 2v \\ 1 \\ 0 \end{bmatrix} \quad (10)$$

3. Curvas Cúbicas Catmull-Rom

Os nós desta categoria de curvas são P_1 e P_2 - por outras palavras, a curva só se define no segmento do meio. A influência dos pontos P_0 e P_3 assenta na determinação das direções tangentes de entrada e saída. Esta configuração torna-as inerentemente contínuas em 1º grau (isto é, garante-se que as derivadas são também contínuas), algo que não é possível dizer sobre as de Bézier - a sua travessia dos quatro pontos possibilita a definição de trajetos compostos por curvas tais que um mesmo ponto seja o fim duma curva e início de outra com tangentes discordantes.



A forma matricial da fórmula que avalia as coordenadas na curva para um t arbitrário é análoga a Bézier, mas com uma matriz característica M_{CR} diferente:

$$P(t) = [t^3 \ t^2 \ t \ 1] \begin{bmatrix} -\frac{1}{2} & \frac{3}{2} & -\frac{3}{2} & \frac{1}{2} \\ 1 & -\frac{5}{2} & 2 & -\frac{1}{2} \\ -\frac{1}{2} & 0 & \frac{1}{2} & 0 \\ 0 & 1 & 0 & 0 \end{bmatrix} \begin{bmatrix} P_0 \\ P_1 \\ P_2 \\ P_3 \end{bmatrix} = [t^3 \ t^2 \ t \ 1] M_{CR} \begin{bmatrix} P_0 \\ P_1 \\ P_2 \\ P_3 \end{bmatrix} \quad (11)$$

$$P'(t) = [3t^2 \ 2t \ 1 \ 0] \begin{bmatrix} -\frac{1}{2} & \frac{3}{2} & -\frac{3}{2} & \frac{1}{2} \\ 1 & -\frac{5}{2} & 2 & -\frac{1}{2} \\ -\frac{1}{2} & 0 & \frac{1}{2} & 0 \\ 0 & 1 & 0 & 0 \end{bmatrix} \begin{bmatrix} P_0 \\ P_1 \\ P_2 \\ P_3 \end{bmatrix} = [3t^2 \ 2t \ 1 \ 0] M_{CR} \begin{bmatrix} P_0 \\ P_1 \\ P_2 \\ P_3 \end{bmatrix} \quad (12)$$

1. Leitura e Conversão de Ficheiros .patch

Para cada patch do modelo, o ficheiro .patch disponibiliza uma lista de dezasseis índices dos vértices que lhe pertença. Sabendo isto, é possível construir três matrizes, P_{xyz} , para representar cada componente dos pontos de controlo envolvidos.

```
struct Patch {
    glm::mat4 MPMt_x;
    glm::mat4 MPMt_y;
    glm::mat4 MPMt_z;

    Patch(std::vector<glm::vec3>& controlPoints) {
        auto [Px, Py, Pz] = Pxyz(controlPoints);
        this->MPMt_x = bezier2::MPMt(Px);
        this->MPMt_y = bezier2::MPMt(Py);
        this->MPMt_z = bezier2::MPMt(Pz);
    }

    std::pair<glm::vec3, glm::vec3> evaluate(float u, float v) {
        const glm::vec4 U(u*u*u, u*u, u, 1);
        const glm::vec4 V(v*v*v, v*v, v, 1);
        const glm::vec4 dU(3*u*u, 2*u, 1, 0);
        const glm::vec4 dV(3*v*v, 2*v, 1, 0);
        glm::vec3 position = {
            glm::dot(U * MPMt_x, V),
            glm::dot(U * MPMt_y, V),
            glm::dot(U * MPMt_z, V),
        };
        glm::vec3 du = {
            glm::dot(dU * MPMt_x, V),
            glm::dot(dU * MPMt_y, V),
            glm::dot(dU * MPMt_z, V),
        };
        glm::vec3 dv = {
            glm::dot(U * MPMt_x, dV),
            glm::dot(U * MPMt_y, dV),
            glm::dot(U * MPMt_z, dV),
        };
        glm::vec3 normal = glm::normalize(glm::cross(du, dv));
        return { position, normal };
    }
};

namespace bezier2 {
    const glm::mat4 M(
        -1,  3, -3,  1,
        3, -6,  3,  0,
        -3,  3,  0,  0,
        1,  0,  0,  0
    );

    glm::mat4 MPMt(const glm::mat4& P) {
        return (M * P) * glm::transpose(M);
    }
};
```

A partir daqui, precalculam-se as matrizes de coeficientes constantes ao patch inteiro, MPM^T , usadas para uma avaliação eficiente das coordenadas (u, v) cujos valores incrementam consoante o nível de tesselação especificado em comando.

Assim, por cada quadrícula resultante da tesselação, seis vértices (dois por triângulo) com coordenadas nalguma combinação de $(u|(u+1), v|(v+1))$ são adicionados ao coletor em ordem antihorária.

1. Ecrã Inteiro

Tirando partido do que o GLUT oferece, acrescentou-se um modo de ecrã inteiro ao carregar no '0' do teclado. O funcionamento é intuitivo: o carregar da tecla despoleta a função abaixo, que guarda ou restaura as dimensões da janela consoante esteja ou não em preenchimento máximo do ecrã.

```
namespace window {  
    bool inFullscreen = false;  
  
    void toggleFullscreen() {  
        static int wPrev = world.window.width;  
        static int hPrev = world.window.height;  
        static int xPrev = 100;  
        static int yPrev = 100;  
  
        if (inFullscreen == false) {  
            wPrev = glutGet(GLUT_WINDOW_WIDTH);  
            hPrev = glutGet(GLUT_WINDOW_HEIGHT);  
            xPrev = glutGet(GLUT_WINDOW_X);  
            yPrev = glutGet(GLUT_WINDOW_Y);  
            inFullscreen = true;  
            glutFullScreen();  
        }  
        else {  
            glutPositionWindow(xPrev, yPrev);  
            glutReshapeWindow(wPrev, hPrev);  
            inFullscreen = false;  
        }  
    }  
};
```

2. Tempo Entre Frames

A callback de renderização agora passa a chamar uma função que faz de “cronômetro”, medindo quanto tempo se demora a trocar de frame. Esta medida de tempo é útil pois permite realizar transformações animadas, movimentar a câmera a uma velocidade independente da taxa de frames/segundo, e mesmo calcular esta última duma forma mais fiável.

```
namespace render {
    void renderScene(void) {

        clock::update();
        keybinds::update(clock::deltaTime);

        glClear(GL_COLOR_BUFFER_BIT | GL_DEPTH_BUFFER_BIT);
        camera::set();

        if (axes::visible) axes::show();
        world.renderGroups(vboMode::withVBOs, clock::deltaTime);

        framesPerSecond::update(clock::currentTime, 100.0f);
        hud::show();

        glutSwapBuffers();
    }
};
```

```
namespace render{
    namespace clock {

        float currentTime = 0.0f;
        float lastTime = 0.0f;
        float deltaTime = 0.0f; // time between frames

        void update() {
            float lastTime = currentTime;
            currentTime = glutGet(GLUT_ELAPSED_TIME);
            deltaTime = (currentTime - lastTime) / 1000.0f;
            snprintf(infoString, sizeof(infoString), "Elapsed: % .1fs",
                currentTime / 1000.0f);
        }
    };
};
```

```
namespace render {
    namespace framesPerSecond {
        float lastSampleTime = 0.0f, frameCount = 0.0f, fps;

        void update(float currentTime, float samplingPeriod = 100.0f) {

            frameCount++;
            if (currentTime - lastSampleTime > samplingPeriod) {
                fps = frameCount * 1000.0f / (currentTime - lastSampleTime);
                lastSampleTime = currentTime;
                frameCount = 0;
                snprintf(infoString, sizeof(infoString), "Frames/s: %d", static_cast<int>(fps));
            }
        }
    };
};
```

A taxa de frames/segundo calcula-se à base de contagem de frames mostrados durante 100ms. Mal esse tempo seja ultrapassado, divide-se o número de frames contado pelo intervalo de tempo em segundos que passou.

Esta e mais outras estatísticas têm, cada uma, a sua string própria recorrentemente atualizada, que é mostrada por uma função de renderização de texto a ser abordada mais adiante.

3. Melhorias de Câmera e Controlos

A medida do tempo entre frames permitiu que se “libertasse” a câmara da sincronia com a renderização. Até à fase anterior, a câmara transladava/rodava 1 unidade fixa por cada frame após deteção de input (*frame-locked*). Isto sujeitava a velocidade do reposicionamento à potência do hardware.

Lembra um fenómeno visto em jogos mais antigos executados em máquinas modernas: certas animações notarem-se exageradamente rápidas ou lentas, por terem sido implementadas duma forma *frame-locked* sem expectativa de alguma vez serem testemunhadas nas taxas de frame mais comuns hoje em dia.

```
namespace camera {
    namespace freeroam {
        ...
        void moveDown(float deltaTime) {
            pos -= worldUp * movementSpeed * deltaTime;
        }

        void rotateYaw(float direction, float deltaTime) {
            yaw += direction * sensitivity * deltaTime;
            updateVectors();
        }

        void rotatePitch(float direction, float deltaTime) {
            pitch += direction * sensitivity * deltaTime;
            if (pitch > 89.0f) pitch = 89.0f;
            if (pitch < -89.0f) pitch = -89.0f;
            updateVectors();
        }
    }
};
```

```
namespace keybinds {
    std::unordered_set<unsigned char> keysPressed;
    std::unordered_set<int> specialKeysPressed;
    ...
    void keyboardSpecialUp(int key_code, int x, int y) {
        specialKeysPressed.erase(key_code);
    }

    void keyboardUp(unsigned char key, int x, int y) {
        keysPressed.erase(key);
    }

    void keyboardSpecial(int key_code, int x, int y) {
        specialKeysPressed.insert(key_code);
    }

    void keyboard(unsigned char key, int x, int y) {
        if (!toggleKeys.contains(key))
            keysPressed.insert(key);

        switch (key) {...}
    }

    void update(float deltaTime) {
        // Handle continuous key presses
        for (unsigned char key : keysPressed) {
            camera::handleKey(key, deltaTime);
        }

        for (int key_code : specialKeysPressed) {
            camera::handleKeySpecial(key_code, deltaTime);
        }
    }
};
```

Os conjuntos *keysPressed* e *specialKeysPressed* ajudam a manter um estado global das teclas conseguiu-se não só passar a controlar a câmara a uma cadência assíncrona da renderização, como também usar várias teclas ao mesmo tempo.

4. Renderização de Texto

I. Modificar referencial da projeção (*GL_PROJECTION*):

- Trocar para um região de visualização ortonormada em duas dimensões – pois para este HUD textual não é relevante uma profundidade em Z.
- Para *gluOrtho2D* são passados valores que definam os limites da região nos lados, em cima e em baixo. Neste caso, como só há um único viewport, servem os limites da janela completa.

II. Modificar referencial dos modelos (*GL_MODELVIEW*):

- Após escolher a cor do texto, usar *glRasterPos* para declarar a posição rasterizada inicial do texto passado por argumento – isto é, em que coordenadas relativas do canto superior esquerdo da janela se desenhará o primeiro caracter.

Feito tudo isto, restauram-se os referenciais e estados de atributo prévios às edições.

```
namespace render {
    namespace hud {
        void show() {

            glPushAttrib(GL_CURRENT_BIT | GL_ENABLE_BIT);

            double windowHeight = glutGet(GLUT_WINDOW_HEIGHT);
            double windowWidth = glutGet(GLUT_WINDOW_WIDTH);

            glMatrixMode(GL_PROJECTION); glPushMatrix();
            glLoadIdentity();
            gluOrtho2D(0, windowWidth, 0, windowHeight);

            glMatrixMode(GL_MODELVIEW); glPushMatrix();
            glLoadIdentity();

            std::vector<std::string> lines = {...};

            glColor3f(1.0f, 1.0f, 1.0f);

            float y = windowHeight - 25.0f;
            for (const auto& line : lines) {
                glRasterPos2f(10, y);
                for (char c : line) {
                    glutBitmapCharacter(GLUT_BITMAP_HELVETICA_12, c);
                }
                y -= 15.0f;
            }

            glMatrixMode(GL_PROJECTION); glPopMatrix();
            glMatrixMode(GL_MODELVIEW); glPopMatrix();

            glPopAttrib();
        }
    };
};
```

5. Vertex Buffer Objects

Até esta fase, cada referência a um modelo no ficheiro config.xml despoletava um carregamento dos seus vértices para a memória. Isto é ineficiente especialmente no caso do sistema solar, visto que é praticamente todo composto pelo mesmo modelo de esfera.

Em âmbito experimental, antes de tentar o carregamento para VBOs, decidiu-se implementar um meio-termo: a definição dum coletor unitário que guardasse os vértices dos modelos uma só vez e os desenhasse por chamada dum grupo hierárquico com o nome do ficheiro como referência.

Mais tarde comparou-se o desempenho da renderização por VBOs versus essa estratégia intermediária. Com a cena do sistema solar, assistiu-se a um ganho significativo de FPS (cerca de 100-150), mas introduzir a renderização de texto – que ainda é em modo imediato – reduziu bastante esse ganho (até 50 no melhor caso).

```
struct ModelStorage {

    std::unordered_map<std::string, Model> byFilename = {};

    const Model& get(const std::string& filename) {
        return byFilename.at(filename);
    }

    bool contains(const std::string& filename) const {
        return byFilename.find(filename) != byFilename.end();
    }

    void tryLoad(std::string& filename) {...}

    void drawAll(bool withVBO, std::vector<std::string> filenames) {...}

    void initializeAllVBOs() {...}

    void cleanupAllVBOs() {...}

    ModelStorage() = default;

    ModelStorage(std::vector<std::string> modelFilenames) {
        for (auto& filename : modelFilenames) {
            tryLoad(filename);
        }
    }
};
```

Passos para o desenho dum modelo via VBO:

0. Garantir que foi inicializada a biblioteca GLEW antes de qualquer interação, para evitar erros de falta de permissões.

I. Inicialização do Buffer:

1. Usar `glGenBuffers` para obter um identificador livre para o VBO que alojará os vértices, guardando esse identificador numa variável apropriada (aqui `vboID`).
2. Usar `glBindBuffer` para estabelecer ligação entre o buffer do identificador passado e o alvo `GL_ARRAY_BUFFER`, para a placa gráfica o interpretar especificamente como um buffer de vértices. Um alvo não consegue estar ligado a múltiplos buffers em simultâneo - logo, qualquer ligação *a priori* que tenha será quebrada para estabelecer esta.
3. Usar `glBufferData` para enviar os dados dos vértices para o VBO atualmente ligado ao alvo `GL_ARRAY_BUFFER`. Neste caso, os vértices estão definidos num vetor de floats, em que cada terno de floats corresponde às componentes x, y, z de cada um. Assim, passa-se por argumento que o número de vértices é um terço do tamanho do vetor. O argumento `GL_STATIC_DRAW` indica que os dados estão a ser carregados esta única vez e serão para uso recorrente daqui em diante.

II. Desenho do Conteúdo do Buffer:

1. Usar `glBindBuffer` para garantir que o VBO do modelo pretendido é o que está atualmente ligado.
2. Usar `glEnableClientState` para indicar que se pretende aceder aos dados do VBO atualmente ligado. A terminologia vem do facto de que, neste contexto, este programa (cliente, a rodar no processador) solicita acesso a dados da placa gráfica (servidor).
3. Usar `glVertexPointer` para desenhar os vértices, especificando que têm cada um 3 coordenadas, do tipo float, e como tendo 0 elementos com dados extra (outroa poderiam haver elementos com informação de cor, normal, ou mapeamento de textura). O último argumento é um apontador relativo para o início do buffer.
4. Usar `glDisableClientState` para indicar ao GPU que acabou a necessidade de acesso aos dados do VBO.
5. Usar `glBindBuffer` com identificador 0 para desligar o VBO que se acabou de utilizar. Evitar a persistência da ligação colmata a possibilidade de acessos erróneos ao VBO fora do seu contexto de uso pretendido.

III. Libertação dos Dados do Buffer:

1. Usar `glDeleteBuffers` com o identificador do VBO para explicitamente limpar os seus dados e voltar a dar o identificador como livre para uso futuro. É uma boa prática de se tomar no fim do programa.

```
struct Model {

    std::string filename;
    std::vector<float> vertices;
    bool showAxes = false;
    unsigned int vertexCount = 0;
    unsigned int vboID = 0;

    Model(const std::string filename) : filename(filename) {
        vertices = modelFileManagement::loadModelVertices(filename);
    }

    void drawVBO() const {
        if (showAxes) drawLocalAxes();

        glBindBuffer(GL_ARRAY_BUFFER, vboID);
        glEnableClientState(GL_VERTEX_ARRAY);
        glVertexPointer(3, GL_FLOAT, 0, 0);

        glDrawArrays(GL_TRIANGLES, 0, vertexCount);

        glDisableClientState(GL_VERTEX_ARRAY);
        glBindBuffer(GL_ARRAY_BUFFER, 0);
    }

    void drawImmediate() const { ... }

    void initializeVBO() {
        glGenBuffers(1, &vboID);
        glBindBuffer(GL_ARRAY_BUFFER, vboID);
        glBufferData(
            GL_ARRAY_BUFFER,
            vertices.size() * sizeof(float),
            vertices.data(),
            GL_STATIC_DRAW
        );
        vertexCount = vertices.size() / 3;
    }

    void deleteVBO() {
        if (vboID != 0) {
            glDeleteBuffers(1, &vboID);
            vboID = 0;
        }
    }
};
```

```
int main(int argc, char** argv) {
    world = configParser::loadWorld("config.xml");
    std::cout << std::string(world) << std::endl;
    glutInit(&argc, argv);
    ...
    // Initialize GLEW
    GLenum err = glewInit();
    if (GLEW_OK != err) {
        fprintf(stderr, "Error: %s\n", glewGetErrorString(err));
        return 1;
    }

    world.modelStorage.initializeAllVBOs();
    atexit([]() { world.modelStorage.cleanupAllVBOs(); });
    ...
    glutMainLoop();

    return 1;
}
```

6. Rotações Animadas

Foi acrescentada uma transformação de rotação cujo ângulo incrementado se deduz pelo Δt entre frames passado como argumento. Assim, quanto mais tempo o frame seguinte demora a ser desenhado, mais ângulo é aplicado à matriz do grupo. Apesar de ter sido mantida a rotação estática de fases anteriores, é tecnicamente possível usar esta para o mesmo efeito – basta instanciar uma rotação animada tal que $t_{\text{Period}} = 0$.

Verifique-se que os incrementos a t são normalizações de Δt , para garantir proporcionalidade perante t_{Period} .

```
struct AnimatedRotation {

    glm::vec3 axis = {0.0f, 1.0f, 0.0f};
    float t = 0.0f;
    float tPeriod = 0.0f;

    AnimatedRotation(glm::vec3 axis, float tPeriod) : axis(axis), tPeriod(tPeriod) {}

    void apply(float tDelta) {
        glRotatef(360.0f * t, axis.x, axis.y, axis.z);
        auto tDeltaNormalised = tDelta / tPeriod;
        t = (t + tDeltaNormalised <= 1.0f) ? t + tDeltaNormalised : 0.0f;
    }
};
```

7. Translações Animadas

A translação animada baseia-se no cálculo de $p(t)$ e $p'(t)$ para a spline Catmull-Rom composta definida pelos pontos de controlo passados. O repetir dos três pontos iniciais na cauda do vetor vem do facto de que, numa spline desta categoria com N pontos de controlo, não há interpolação para os segmentos (P_0, P_1) e (P_{N-1}, P_N) . Assim, há que compensar com a declaração de dois segmentos contíguos tanto entre si como entre o último e o primeiro pré-existent (para formar um circuito fechado). É aqui que nota a importância das curvas Catmull-Rom serem inerentemente contínuas em 1º grau.

```
namespace catRom {
    struct Spline {
        std::vector<glm::mat3x4> segmentMPs = {};

        std::pair<glm::vec3, glm::vec3> evaluate(float t) const {
            if (segmentMPs.empty()) return { glm::vec3(0), glm::vec3(0) };
            float tScaled = t * segmentMPs.size();
            float tSegment = glm::fract(tScaled);
            int iSegment = glm::min((int)tScaled, (int)segmentMPs.size() - 1);
            return point(segmentMPs[iSegment], tSegment);
        }

        void transform(float t, float aligned, glm::vec3 worldUp) {
            const auto [p, dp] = evaluate(t);

            glmMultMatrixf(glm::value_ptr(glm::mat4(
                glm::vec4(1, 0, 0, 0),
                glm::vec4(0, 1, 0, 0),
                glm::vec4(0, 0, 1, 0),
                glm::vec4(p, 0, 0, 1)
            )));

            if (aligned) {
                auto front = glm::normalize(dp);
                auto right = glm::normalize(glm::cross(front, worldUp));
                auto up = glm::normalize(glm::cross(right, front));

                glmMultMatrixf(glm::value_ptr(glm::mat4(
                    glm::vec4(front, 0),
                    glm::vec4(up, 0),
                    glm::vec4(right, 0),
                    glm::vec4(0, 0, 0, 1)
                )));
            }
        }
    };
};
```

```
struct AnimatedTranslation {

    static inline const int tessellationLevels[4] = { 1, 2, 4, 10 };
    static inline int currentTessIndex = -1;
    static inline bool showPath = false;

    static inline glm::vec3 worldUp;
    std::vector<glm::vec3> controlPoints = {};
    catRom::Spline crPath;

    float t = 0.0f;
    float tPeriod = 0.0f;
    bool aligned = true;

    AnimatedTranslation(std::vector<glm::vec3> controlPoints, float
        tPeriod, bool isAligned) :
        tPeriod(tPeriod),
        aligned(isAligned)
    {
        this->controlPoints = controlPoints;
        // to close the loop
        (this->controlPoints).push_back(controlPoints[0]);
        (this->controlPoints).push_back(controlPoints[1]);
        (this->controlPoints).push_back(controlPoints[2]);

        crPath = catRom::Spline(this->controlPoints);
    }

    void drawControlPoints() {...}

    static void nextTessellationLevel() {
        currentTessIndex = (currentTessIndex + 1) %
            (sizeof(tessellationLevels) / sizeof(int));
    }

    void apply(float tDelta) {

        if (showPath) drawControlPoints();

        crPath.drawWhole(tessellationLevels[currentTessIndex]);
        crPath.transform(t, aligned, worldUp);

        auto tDeltaNormalised = tDelta / tPeriod;
        t = (t + tDeltaNormalised <= 1.0f) ? t + tDeltaNormalised : 0.0f;
    }
};
```

Para alinhar um modelo ao longo da tangente (direção frontal, assumida no eixo X) da sua posição t numa spline composta por n segmentos, foi usado o raciocínio do algoritmo Gram-Schmidt já presente na ortonormalização do referencial da câmara em 1ª pessoa.

Considere-se t_g o progresso ao longo da spline inteira e t_s o progresso ao longo do atual segmento:

$$t_s = \{n \cdot t_g\} = n \cdot t_g - \lfloor n \cdot t_g \rfloor \quad (13)$$

$$X = P'(t_s)$$

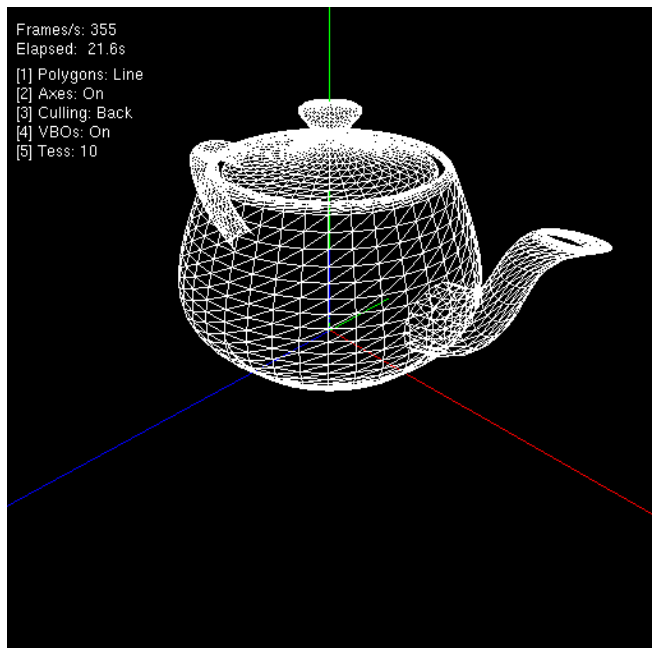
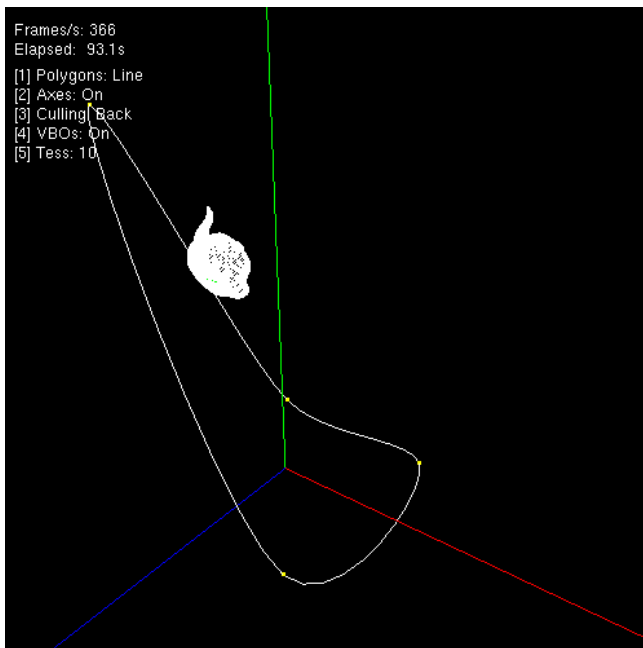
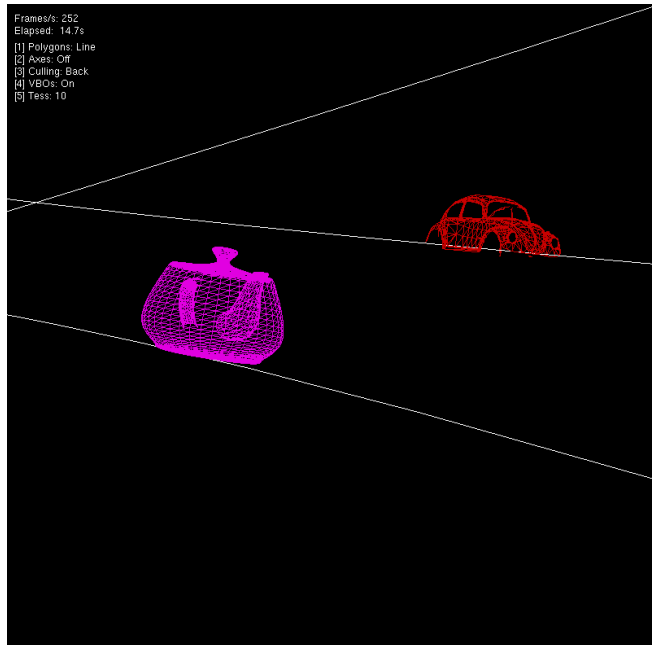
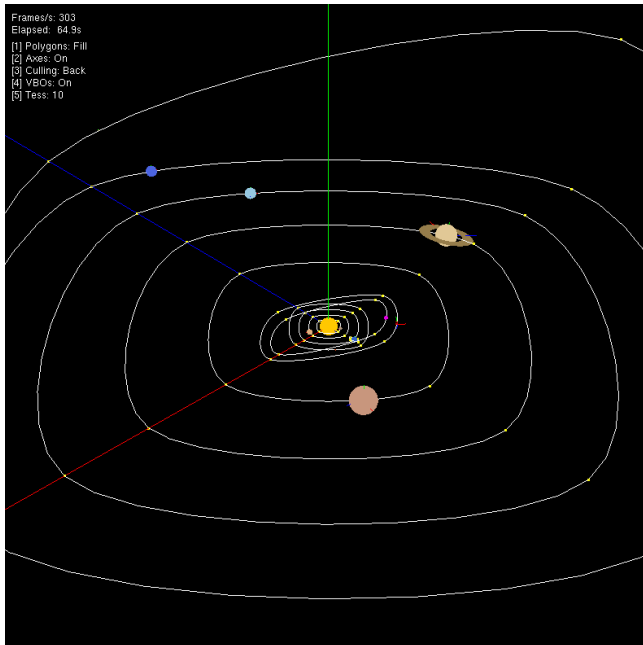
$$Z = X \times Y_{\text{global}} \quad (14)$$

$$Y = Z \times X$$

$$\text{Rot} = \begin{bmatrix} X_x & Y_x & Z_x & 0 \\ X_y & Y_y & Z_y & 0 \\ X_z & Y_z & Z_z & 0 \\ 0 & 0 & 0 & 1 \end{bmatrix} \quad (15)$$

8. Demonstração

Para a cena do sistema solar, colocou-se os planetas, a Lua, e dois asteróides em translação animada. Os asteróides são o omnipresente bule de Newell e o carocha de Sutherland - mais um modelo pioneiro na computação gráfica. Este último foi alvo duma translação estática adicional no ficheiro XML, visto que tem um certo desvio à origem no eixo Y.



Sistema solar, meteoros, ficheiros "test_3_1.xml" e "test_3_2.xml"